

B C M P 型待ち行列網計算プログラム

Q N M A P について

末松 和代 畑山 茂樹
(航空宇宙技術研究所)

1. はじめに

本稿では、 B C M P 型待ち行列網で表現できるモデルの特性評価用に開発したプログラム Q N M A P (Queueing Network Model Analyzing Program)について述べる。

本プログラムでは複数個の開放型部分連鎖と複数個の閉鎖型部分連鎖をもつ待ち行列網が計算できる。各セニタのサービス規律はタイプ1からタイプ4のいずれかが指定できるが、可変サービス率をもつタイプ1のセニタは閉鎖型部分連鎖に従う客のみしか扱えない。また、客は異なるクラスに遷移することが可能である。本プログラムでは、このような一般的な混合型待ち行列網を計算するためには、文献2に示された方法を用いている。すなわち、混合型待ち行列網における平衡状態確率を求めるために、閉鎖型部分連鎖に従う客のみに関する周辺分布を導くことにより解く。こうして、各セニタにおける閉鎖型部分連鎖に関する統計量が求めれば開放型部分連鎖に関する統計量、セニタに関する統計量、各セニタのクラス毎の統計量も全て求まる。本稿では、 Q N M A P で使用しているこれらの計算式を示すとともに、 Q N M A P の構造、使用例を示す。

2. 混合型待ち行列網の計算

網内のセニタ数を M とし、各セニタは下表に示す6種類のうちのいずれかのサービス規律に従うものとする。いま、 i をあるセニタ、 C をあるクラスとし、対 (i, C) が異なるものに 1 から順次番号をつけそれを mode と呼ぶ。また、 mode s から mode r への客の遷移確率を p_{sr} で表わす。さらに、網内の部分連鎖の数を N とし、その内の $1 \sim L$ までを閉鎖型部分連鎖、 $L+1 \sim N$ までを開放型部分連鎖とする。網外から開放型部分連鎖 ℓ への客の到着は一定の到着率 λ_ℓ ($\ell = L+1 \sim N$) のホisson 到着とし、到着した客は確率 g_r で mode r の客となるものとする。また、閉鎖型部分連鎖 ℓ に属する客数を k_ℓ ($\ell = 1 \sim L$) とする。いま、 e_{R^*} を部分連鎖 ℓ に属する mode の集合とし、 e_r を平衡状態における客の mode r への平均訪問回数とすると、 e_r は次式から求まる。

$$e_r = g_r + \sum_{s \in e_{R^*}} e_s \cdot p_{sr} \quad (r \in R^*, \ell = 1 \sim N)$$

ここで、 $\ell = 1 \sim L$ に対して $g_r = 0$ 、 $\ell = L+1 \sim N$ に対して $\sum_{r \in R^*} g_r = 1$ とする。
次に、セニタ i に属する mode r に対して E_r を次のように定義する。

タイプ	サービス規律	サーバ数	サービス率	備考
1 (先着順)	F C F S	1	μ_i	$\tau = \text{セニタ } i \text{ のサービス率は、全ての mode } r \text{ において等しい}.$
	F S	m_i	$m_i \cdot \mu_i \quad (m_i \leq m_i)$ $m_i \cdot \mu_i \quad (m_i > m_i)$	
	V S	1	$\mu_i \cdot (m_i)$	
2 (プロセッサミキシング)	P S	1		$\tau = \text{セニタ } i \text{ のサービス率は mode } r \text{ 每に異なっている}.$
3 (無限大サーバ)	I S	∞		
4 (後着順割当型)	L C F S	1		

サービス規律

$$E_r = \begin{cases} \frac{e_r^*}{\mu_r} & FCFS, FS のとき \\ \frac{e_r^*}{\lambda r} & PS, IS, LCFS のとき \\ e_r^* & VS のとき \end{cases}$$

\Rightarrow デレ $e_r^* = \begin{cases} e_r & l=1 \sim L のとき \\ \lambda e_r & l=L+1 \sim N のとき \end{cases}$

このとき、平衡状態における混合型待ち行列組の状態が $S' = (\vec{z}_1, \vec{z}_2, \dots, \vec{z}_M)$ である確率を $P(S')$ で表わし、正規化定数を $C(\vec{R})$ 、 $\vec{R} = (k_1, k_2, \dots, k_L)$ で表わすと次式が成り立つ。

$$P(S' = (\vec{z}_1, \vec{z}_2, \dots, \vec{z}_M)) = \prod_{i=1}^M h_i(\vec{z}_i) / C(\vec{R})$$

ここで $z_i = \text{タシに属して}$

m_{ir} : センタ i に属する mode r の密数

eR_i^* : センタ i に属し、かつ部分連鎖 l に属する mode の集合

$$\vec{z}_i = (oM_i, _1M_i, \dots, _L M_i)$$

$$oM_i = \sum_{l=L+1}^N \sum_{r \in eR_i^*} m_{ir}$$

$$_l M_i = \sum_{r \in eR_i^*} m_{ir} \quad (l=1 \sim L)$$

$$cM_i = \sum_{l=1}^L _l M_i$$

$$M_i = oM_i + cM_i$$

$$oE_i = \sum_{l=L+1}^N \sum_{r \in eR_i^*} E_r$$

$$_l E_i = \sum_{r \in eR_i^*} E_r \quad (l=1 \sim L)$$

すると、セイタ i の状態が \vec{z}_i である正規化されていない状態確率 $h_i(\vec{z}_i)$ は次式で表わされる。

• FCFS, PS, LCFS のとき

$$h_i(\vec{z}_i) = m_i! \frac{oE_i^{oM_i}}{oM_i!} \prod_{l=1}^L \frac{_l E_i^{_l M_i}}{_l M_i!}$$

• IS のとき

$$h_i(\vec{z}_i) = \frac{oE_i^{oM_i}}{oM_i!} \prod_{l=1}^L \frac{_l E_i^{_l M_i}}{_l M_i!}$$

• FS のとき

$$h_i(\vec{z}_i) = \begin{cases} \frac{oE_i^{oM_i}}{oM_i!} \prod_{l=1}^L \frac{_l E_i^{_l M_i}}{_l M_i!} & m_i \leq M_i のとき \\ \frac{m_i!}{m_i! M_i^{M_i-m_i}} \frac{oE_i^{oM_i}}{oM_i!} \prod_{l=1}^L \frac{_l E_i^{_l M_i}}{_l M_i!} & m_i > M_i のとき \end{cases}$$

• VS のとき

$$h_i(\vec{z}_i) = \frac{m_i!}{A_i(m_i)} \prod_{l=1}^L \frac{_l E_i^{_l M_i}}{_l M_i!}$$

$$\text{ここで } A_i(m_i) = \begin{cases} 1 & m_i = 0 のとき \\ \prod_{j=1}^{m_i} \mu_i(j) & m_i > 0 のとき \end{cases}$$

文献2の方法により、 $h_i(\vec{z}_i)$ からそのセイタ i に存在する閉鎖型部分連鎖に従う密のみに属する周辺分布 $d_i(\vec{z}_i)$ 、 $\vec{z}_i = (oM_i, _1M_i, \dots, _L M_i)$ を導くと次式を得る。

• FCFS, PS, LCFS のとき

$$d_i(\vec{z}_i) = \frac{cM_i!}{(1 - oE_i)^{cM_i+1}} \prod_{l=1}^L \frac{_l E_i^{_l M_i}}{_l M_i!}$$

・ FS のとき

$$d_i(\vec{x}_i) = e^{x_i E_i} \prod_{l=1}^L \frac{e^{E_l x_i}}{x_i!}$$

・ TS のとき

$$d_i(\vec{x}_i) = \left\{ \frac{m_i^{m_i+1}}{m_i! (m_i - E_i)^{m_i+1}} + y_i(c m_i) \right\} c m_i! \prod_{l=1}^L \frac{e^{E_l x_i}}{x_i!}$$

$$\text{ここで } y_i(c m_i) = \begin{cases} \frac{1}{c m_i!} \sum_{n=0}^{m_i-c m_i} \frac{e^{E_i x_i}}{n!} \left(1 - \frac{m_i^{m_i-c m_i-n} (m_i + c m_i)!}{m_i!} \right) & 0 \leq c m_i < m_i \text{ のとき} \\ 0 & c m_i \geq m_i \text{ のとき} \end{cases}$$

・ VS のとき

$$d_i(\vec{x}_i) = \frac{c m_i!}{A_i(c m_i)} \prod_{l=1}^L \frac{e^{E_l x_i}}{x_i!}$$

このとき、平衡状態における混合型待ち行列網の状態が $S = (\vec{x}_1, \vec{x}_2, \dots, \vec{x}_M)$ である確率を $P(S)$ で表わすと、

$$P(S = (\vec{x}_1, \vec{x}_2, \dots, \vec{x}_M)) = \prod_{i=1}^M d_i(\vec{x}_i) / C(R)$$

となる。ここで

$$C(R) = \sum_{S \in \mathcal{S}} \prod_{i=1}^M d_i(\vec{x}_i)$$

$$\mathcal{S} = [S = (\vec{x}_1, \vec{x}_2, \dots, \vec{x}_M) ; K_l = \sum_{i=1}^M x_i, l=1 \sim L]$$

である。

2.1 固鎖型部分連鎖に関するセニタシの統計量

正規化定数 $C(R)$ およびセニタシの固鎖型部分連鎖に従う客のみに関する状態確率 $P_i(\vec{x}_i)$ は、文献3の方法により計算できる。この値をもとにして、固鎖型部分連鎖に関するセニタシの平均稼働サーバ数 $SO_c(i)$ 、平均客数 $QL_c(i)$ を計算する。

いまセニタシにおいて、固鎖型部分連鎖に従う客数が $c m_i$ のときに開放型部分連鎖に従う客数が $c m_i$ である条件付確率を $P_i(c m_i / c m_i)$ 、またそれらの結合確率を $P_i(c m_i, c m_i)$ であるとし、固鎖型部分連鎖内の全客数を K_t 、 $K_t = \sum_{l=1}^L k_l$ とする。このとき、 $SO_c(i)$ 、 $QL_c(i)$ は次式で表わされる。

$$SO_c(i) = \sum_{c m_i=1}^{K_t} \sum_{c m_i=0}^{\infty} P_i(c m_i, c m_i) \times \frac{c m_i}{c m_i + c m_i} \times \min(c m_i + c m_i, m_i)$$

$$QL_c(i) = \sum_{m_i=1}^{K_t} P_i(c m_i=m_i) \cdot m_i$$

ここで次の関係式を用いると、 $SO_c(i)$ はサービス規律毎に付表1に示すようになる。

$$P_i(c m_i, c m_i) = P_i(c m_i / c m_i) \cdot P_i(c m_i) = \frac{d_i(\vec{x}_i)}{d_i(\vec{x}_i)} \cdot P_i(c m_i)$$

また、これらの結果にもとづき、部分連鎖 ℓ の平均稼働サーバ数 $SO_\ell(i)$ 、平均客数 $QL_\ell(i)$ も付表1に示すようになる。

さらに、固鎖型部分連鎖 ℓ に属する mode r の平均稼働サーバ数 $so(r)$ 、平均客数 $gl(r)$ は次のようにして求められる。

部分連鎖 ℓ に従う客数が $c m_i$ のときには mode r ($r \in R_i^\ell$) の客数が m_{ir} である確率 $P_i(m_{ir} / c m_i)$ は

$$P_i(m_{ir} / c m_i) = c m_i C_{m_{ir}} E_r^{m_{ir}} (e E_i - E_r)^{c m_i - m_{ir}} / e E_i^{c m_i}$$

であるから、 $gl(r)$ は次式のようになる。

$$gl(r) = \sum_{m_i=1}^{K^r} p_i(m_i) \sum_{m_r=1}^{m_i} p_i(m_r/m_i) \cdot m_r = QL_e(i) \times \frac{E_r}{eE_i}$$

また、サービス規律がIFS以外の時に部分連鎖*e*に従う客数が*eMi*の場合を考える。この場合に、部分連鎖*e*の客がサービスされない時にnode*r*の客がサービスされる確率 $S_r(eMi)$ は、

$$S_r(eMi) = \sum_{m_r=1}^{m_i} p_i(m_r/eMi) \times \frac{m_r}{eMi} = \frac{E_r}{eE_i}$$

となり。 eMi の値に関係なく一定である。また、IFS の場合には平均稼働サーバー数と平均客数が等しい。したがって、サービス規律に関係なく

$$so(r) = SO_e(i) \times \frac{E_r}{eE_i}$$

が成り立つ。

ここで、 $so(r)$, $gl(r)$ から node*r* の平均滞在時間 $gt(r)$ 、平均待ち客数 $wl(r)$ 、平均待ち時間 $wt(r)$ 、単位時間当たりの平均処理客数 $tp(r)$ を求める。まず、 $wl(r)$ は次式で表わされる。

$$wl(r) = gl(r) - so(r)$$

また、リトルの公式から次の関係式が導ける。

$$\frac{gl(r)}{gt(r)} = \frac{wl(r)}{wt(r)} = \frac{so(r)}{st(r)} = tp(r)$$

ここで、 $st(r)$ は node*r* の平均サービス時間であり次式で定義されるので $gt(r)$, $wt(r)$, $tp(r)$ が求まる。

$$st(r) = \begin{cases} \frac{1}{\mu_i} & FCFSS, FS \text{ のとき} \\ \frac{1}{\mu_{ir}} & PS, IS, LCFS \text{ のとき} \end{cases}$$

ただし、サービス規律がIFSの場合には、以下に示す $TP_e(i)$, $tp(r)$ を求めるこことにより、 $gt(r)$, $wt(r)$ が求まる。

$$TP_e(i) = \sum_{m_i=1}^{K^r} p_i(m_i) \cdot \mu_i(m_i) \sum_{eMi=1}^{m_i} p_i(eMi/m_i) \frac{eMi}{m_i}$$

$$tp(r) = TP_e(e) \times \frac{E_r}{eE_i}$$

2.2 開放型部分連鎖に関するセミタジの統計量

開放型部分連鎖に関するセミタジの平均稼働サーバー数 $SO_e(i)$ 、平均客数 $QL_e(i)$ は次式で表わされる。

$$SO_e(i) = \sum_{m_i=1}^{\infty} \sum_{eMi=1}^{K^r} p_i(eMi, cMi) \times \frac{eMi}{eMi + cMi} \times \min(cMi + eMi, m_i)$$

$$QL_e(i) = \sum_{m_i=1}^{\infty} p_i(cMi=m) \cdot m$$

ここで、次の関係式

$$p_i(eMi) = \sum_{cMi=0}^{K^r} p_i(eMi, cMi)$$

を用いて、サービス規律毎に $SO_e(i)$, $QL_e(i)$ を求めると付表2のようになる。特に $SO_e(i)$ は、サービス規律に関係なく eE_i に等しくなることがわかる。

また、開放型部分連鎖 i に属する mode r の平均稼動サーバ数 $so(r)$ 、平均客数 $gl(r)$ は、オーバーヘッドと同様の方法により次式となる。

$$so(r) = SO_e(i) \times \frac{E_r}{oE_v}$$

$$gl(r) = QL_e(i) \times \frac{E_r}{oE_v}$$

その他の統計量 $gt(r)$ 、 $wt(r)$ 、 $wl(r)$ 、 $tr(r)$ もオーバーヘッドと同様の関係式により同様に求まる。

2.3 セニタジの統計量

セニタジの平均稼動サーバ数 $SO(i)$ 、平均客数 $QL(i)$ 、平均待ち客数 $WL(i)$ は次式で表わされる。

$$SO(i) = SO_e(i) + SO_o(i)$$

$$QL(i) = QL_e(i) + QL_o(i)$$

$$WL(i) = QL(i) - SO(i)$$

また、平均滞在時間 $QT(i)$ 、平均待ち時間 $WT(i)$ 、単位時間当たりの平均処理客数 $TP(i)$ は、

$$\frac{QL(i)}{QT(i)} = \frac{WL(i)}{WT(i)} = \frac{SO(i)}{ST(i)} = TP(i)$$

の関係式から求まる。ここで $ST(i)$ はセニタジの平均サービス時間であり、次式より求められる。

$$ST(i) = \begin{cases} \frac{1}{\mu_r} & FCFSS, TS のとき \\ SO(i) / \sum_{l=1}^L TP_e(l) & IS, PS, LCFSS, TS のとき \end{cases}$$

なお、セニタジの利用率 $U(i)$ は、サービス規律毎に次式で表わされる。

$$U(i) = \begin{cases} SO(i) & FCFSS, PS, LCFSS, TS のとき \\ 1 - P_i(C_m=0) \cdot e^{-oE_v} & IS のとき \\ 1 - \frac{P_i(C_m=0)}{\sum_{m=0}^{M_i} \frac{oE_v^m}{m!} + \frac{oE_v^{m+1}}{m!(C_m - oE_v)}} & FS のとき \end{cases}$$

3. QNMAP の概要と計算例

3.1 QNMAP の概要

プログラム QNMAP のゼネラルフローを、次頁に示す。

サブルーチン IN PUT は網を定義する各種パラメータを読み込む。そこで入力されたデータはサブルーチン CHK で調べられる。もし、網の定義に誤りがある、たり不足しているのがあると、エラーメッセージを出して処理を終了させる。サブルーチン LOAD は、各 mode の E_h 、および各セニタジの $\mu_E(i)$ 、 $eE_l(l=1 \sim L)$ を計算し、平衡状態の解をもつか否かを調べる。解を持たないと判定された場合にはエラーメッセージを出して処理を終了させる。

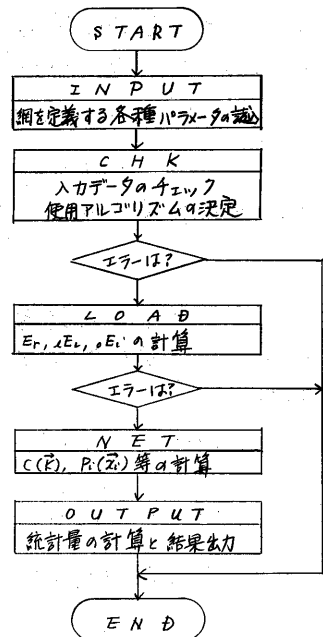
サブルーチン NET は、定義された網の正規化定数 $C(R)$ と、各セニタジの閉鎖型部分連鎖に従う客に関する状態確率 $P_i(C_l)$ を計算し、 $SO_e(i)$ 、 $QL_e(i)$ 、 $SO_o(i)$ 、 $QL_o(i)$ を求める。さらに、サービス規律がアリのセニタジに対しては、 $TP_e(i)$ を求める。

サブルーチン OUTPUT は、NETで計算され下データに基づき、各タスクに関する統計量 $SO(i)$, $QL(i)$, $QT(i)$, $WL(i)$, $WT(i)$, $TP(i)$ 、および各 node に対する統計量 $so(r)$, $ql(r)$, $qt(r)$, $wl(r)$, $wt(r)$, $tp(r)$ を計算し出力する。

なお、NET は $C(R)$, $P_i(R)$ の計算法の違いにより下表に示す 3 種類のプログラムで構成されている。一般には文献 3 に基づく NET3 が使用されるが、表の条件を満たす場合には計算時間の短縮のために文献 4 に基づく NET1, NET2 が使用される。実行時にどのプログラムを使用して計算するかは、CHK で判定している。

網の条件 アルゴリズム	閉鎖型部分 連鎖の数	閉鎖型部分連鎖に従う席を取る サービスセータルのサービス規律
NET1	1	$FCFS, PS, LCFSS$ のみ ($i=1 \sim M$)
NET2	1	$FCFS, PS, LCFSS$ のみ ($i=1 \sim M-1$) IS, FS, TS のみ ($i=M$)
NET3	1 以上	$FCFS, PS, LCFSS, IS, FS, TS$ ($i=1 \sim M$)

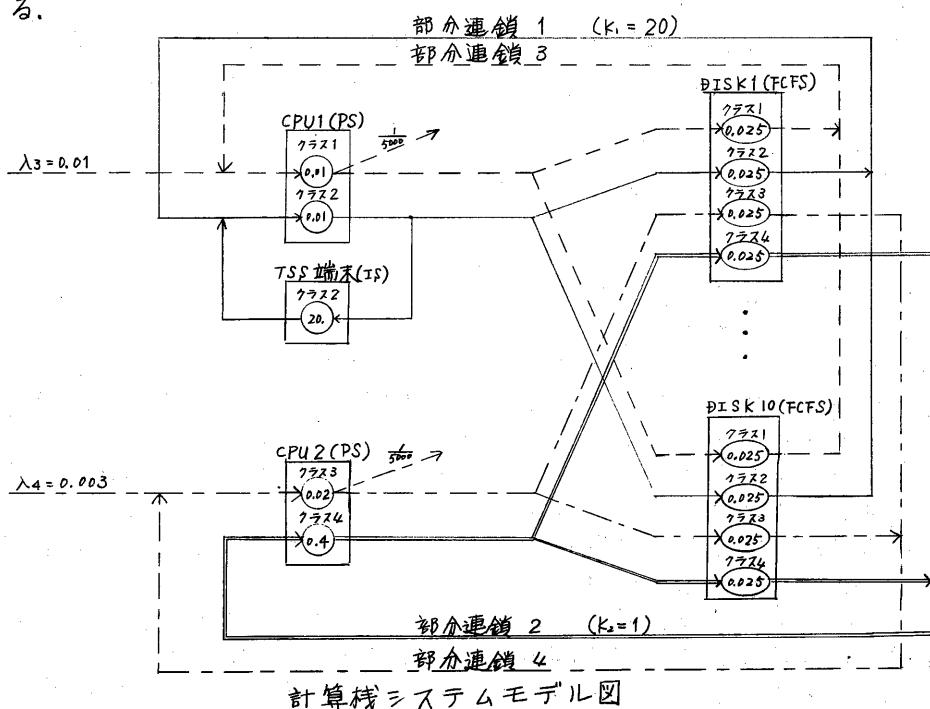
NET プログラムの種類と使用条件



QNMAP の実行フロー

3.2 計算例

ディスクシア型の複合計算機システムは下図に示すようなモデルで表わすことができる。



図において、CPU 1 は会話型処理と小規模バッチ処理を行ひ、CPU 2 は 2 つのジョブクラスのバッチ処理を行う。部分連鎖 2 を閉鎖型としたのは、そのジョブクラスのジョブが常に混雑している状況を表わすためである。

部分連鎖 1 の客数 $k_1 = 20$ は TSS 端末数を表わす。端末から投入されたコマンド処理は CPU サービス後 $1/10$ の確率で終了するものとし、各ディスクの使用頻度は DISK 1 ~ 2 に対しては各々 40%，DISK 3 ~ 10 に対しては各々 2.5% とする。また、部分連鎖 2 は客数 $k_2 = 1$ とし、部分連鎖 3, 4 へのジョブの到着率は $\lambda_3 = 0.01$, $\lambda_4 = 0.003$ とする。部分連鎖 2 ~ 4 に従うジョブの処理は CPU サービス後 $1/5000$ の確率で終了するものとし、各ディスクに対する使用頻度は全て等しいものとする。

なお、図中の横円内の数字はセニタのクラス毎の平均サービス時間を表わす。以上の条件のもとで、QNMAP により計算すると、以下の結果が得られる。

	SO	QL	QT	WL	WT
CPU 1	0.5973D+00	0.1476D+01	0.2471D-01	0.0	0.0
CLASS 1	0.4999D+00	0.1238D+01	0.2476D-01	0.0	0.0
CLASS 2	0.9738D-01	0.2383D+00	0.2447D-01	0.0	0.0
CPU 2	0.9643D+00	0.1784D+01	0.1071D+00	0.0	0.0
CLASS 3	0.3000D+00	0.8351D+00	0.5568D-01	0.0	0.0
CLASS 4	0.6644D+00	0.9490D+00	0.5714D+00	0.0	0.0
DISK 1 - 2	0.2542D+00	0.3399D+00	0.3343D-01	0.8572D-01	0.8429D-02
CLASS 1	0.1250D+00	0.1674D+00	0.3350D-01	0.4248D-01	0.8499D-02
CLASS 2	0.8764D-01	0.1168D+00	0.3331D-01	0.2911D-01	0.8305D-02
CLASS 3	0.3749D-01	0.5023D-01	0.3350D-01	0.1274D-01	0.8499D-02
CLASS 4	0.4152D-02	0.5533D-02	0.3331D-01	0.1381D-02	0.8315D-02
DISK 3 - 10	0.1721D+00	0.2078D+00	0.3019D-01	0.3573D-01	0.5191D-02
CLASS 1	0.1250D+00	0.1509D+00	0.3019D-01	0.2597D-01	0.5195D-02
CLASS 2	0.5477D-02	0.6613D-02	0.3019D-01	0.1136D-02	0.5185D-02
CLASS 3	0.3749D-01	0.4528D-01	0.3019D-01	0.7790D-02	0.5195D-02
CLASS 4	0.4152D-02	0.4990D-02	0.3005D-01	0.8379D-03	0.5045D-02
TSS TERMINAL	0.1948D+02	0.1948D+02	0.2000D+02	0.0	0.0

実行結果

また、上記の結果より、TSS コマンドの応答時間は約 0.5388 秒、クラス 1 クラス 3 のジョブのターニアラウンドタイムはそれぞれ約 278.06 秒、482.66 秒、クラス 4 のジョブの処理時間は約 3010.51 秒によることがわかる。

◆ 参考文献 ◆

- 1) F. Bassett, K.M. Chandy, R.R. Muntz, and F.G. Palacios, "Open, Closed, and Mixed Networks of Queues with Different Classes of Customers", J.ACM, VOL22, NO2. (1975)
- 2) 記一誠, "混合型待ち行列網の計算方法", 情報処理学会論文誌, VOL.24, NO.3 (1983)
- 3) R.R. Muntz, T.W. Wong, "Efficient Computational Procedures for Closed Queueing Network Models", Proceedings of the 7th Hawaii International Conference on System Sciences (1974)
- 4) R.L. Weil, "Computational Algorithms for Closed Queueing Networks with Exponential Servers", C.ACM, VOL.16, NO.9, (1973)

サービス規律		条件	統計量
FCFS PS LCFS	$cE_i = 0$		$SD_c(i) = 1 - P_i(cM_i = 0)$ $QL_c(i) = \sum_{m=1}^{k^*} P_i(cM_i = m) \cdot m$ $SD_e(i) = \sum_{eM_i > 0} P_i(\vec{Z}_i) \cdot \frac{eM_i}{cM_i}$ $QL_e(i) = \sum_{eM_i > 0} P_i(\vec{Z}_i) \cdot eM_i$
	$cE_i > 0$		$SD_c(i) = (1 - cE_i)[1 - P_i(cM_i = 0)]$ $QL_c(i) = \sum_{m=1}^{k^*} P_i(cM_i = m) \cdot m$ $SD_e(i) = (1 - cE_i) \sum_{eM_i > 0} P_i(\vec{Z}_i) \cdot \frac{eM_i}{cM_i}$ $QL_e(i) = \sum_{eM_i > 0} P_i(\vec{Z}_i) \cdot eM_i$
IS	$cE_i \geq 0$		$SD_c(i) = QL_c(i) = \sum_{m=1}^{k^*} P_i(cM_i = m) \cdot m$ $SD_e(i) = QL_e(i) = \sum_{eM_i > 0} P_i(\vec{Z}_i) \cdot eM_i$
	$cE_i = 0$		$SD_c(i) = \sum_{m=1}^{k^*} P_i(cM_i = m) \cdot \min(m, m_i)$ $QL_c(i) = \sum_{m=1}^{k^*} P_i(cM_i = m) \cdot m$ $SD_e(i) = \sum_{eM_i > 0} P_i(\vec{Z}_i) \cdot \frac{eM_i}{cM_i} \cdot \min(eM_i, m_i)$ $QL_e(i) = \sum_{eM_i > 0} P_i(\vec{Z}_i) \cdot eM_i$
FS	$cE_i > 0$		$SD_c(i) = \sum_{m=0}^{m_i} P_i(cM_i = m) \left\{ \frac{y_i(m-1) - (m_i - cE_i) y_i(m)}{m_i! (m_i - cE_i)^{m_i+1}} + y_i(m) \right\} + (m_i - cE_i)[1 - P_i(cM_i = 0)]$ $QL_c(i) = \sum_{m=0}^{k^*} P_i(cM_i = m) \cdot m$ $SD_e(i) = \sum_{eM_i > 0} P_i(\vec{Z}_i) \cdot \frac{eM_i}{cM_i} \left\{ \frac{y_i(cM_i-1) - (cM_i - cE_i) y_i(cM_i)}{m_i! (cM_i - cE_i)^{m_i+1}} + y_i(cM_i) \right\} + (cM_i - cE_i) \sum_{eM_i > 0} P_i(\vec{Z}_i) \cdot \frac{eM_i}{cM_i}$ $QL_e(i) = \sum_{eM_i > 0} P_i(\vec{Z}_i) \cdot eM_i$
VS	$cE_i = 0$		$SD_c(i) = 1 - P_i(cM_i = 0)$ $QL_c(i) = \sum_{m=1}^{k^*} P_i(cM_i = m) \cdot m$ $SD_e(i) = \sum_{eM_i > 0} P_i(\vec{Z}_i) \cdot \frac{eM_i}{cM_i}$ $QL_e(i) = \sum_{eM_i > 0} P_i(\vec{Z}_i) \cdot eM_i$ $TP_e(i) = \sum_{eM_i > 0} P_i(\vec{Z}_i) \mu_i(m_i) \frac{eM_i}{m_i}$

付表 1 封鎖型部分連鎖に関する統計量

条件		
FCFS PS LCFS	$cE_i = 0$	$SD_o(i) = cE_i$ $QL_o(i) = \frac{cE_i}{1 - cE_i}$
	$cE_i > 0$	$SD_o(i) = cE_i$ $QL_o(i) = (QL_c(i) + 1) \frac{cE_i}{1 - cE_i}$
IS	$cE_i \geq 0$	$SD_o(i) = QL_o(i) = cE_i$
	$cE_i = 0$	$SD_o(i) = cE_i$ $QL_o(i) = \frac{cE_i (m_i + 1)}{(m_i - 1)! (m_i - cE_i)^{m_i}}$
FS	$cE_i > 0$	$SD_o(i) = cE_i$ $QL_o(i) = \sum_{m=0}^{m_i} P_i(cM_i = m) \left\{ \frac{y_i(m) - y_i(m)(m+1) \frac{cE_i}{m_i - cE_i}}{m_i! (m_i - cE_i)^{m_i+1}} + y_i(m) \right\} + (QL_c(i) + 1) \frac{cE_i}{m_i - cE_i}$

付表 2 周放型部分連鎖に関する統計量